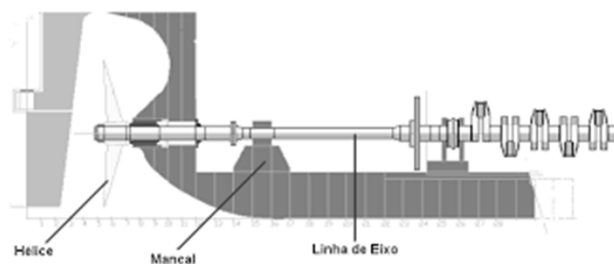


Torção de Membros Circulares

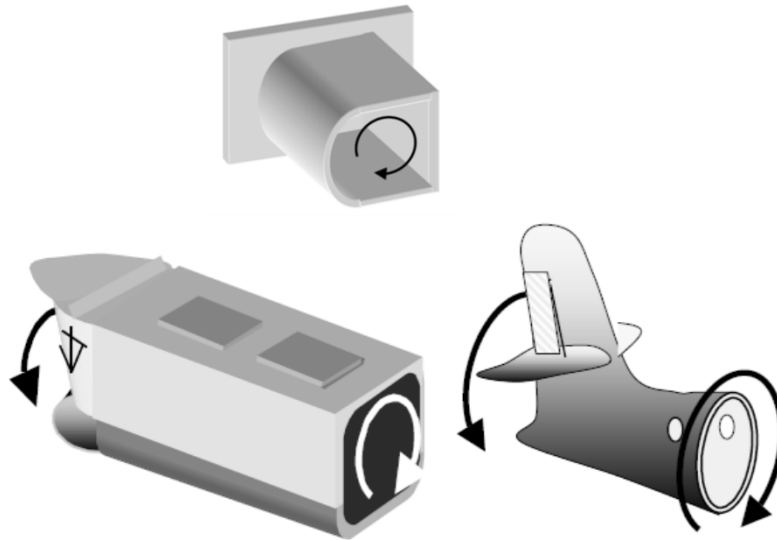
Diego F. Sarzosa Burgos
Núcleo de Mecânica da Fratura e Integridade Estrutural
Escola Politécnica – USP
E-mail: dsarzosa@usp.br

Torção



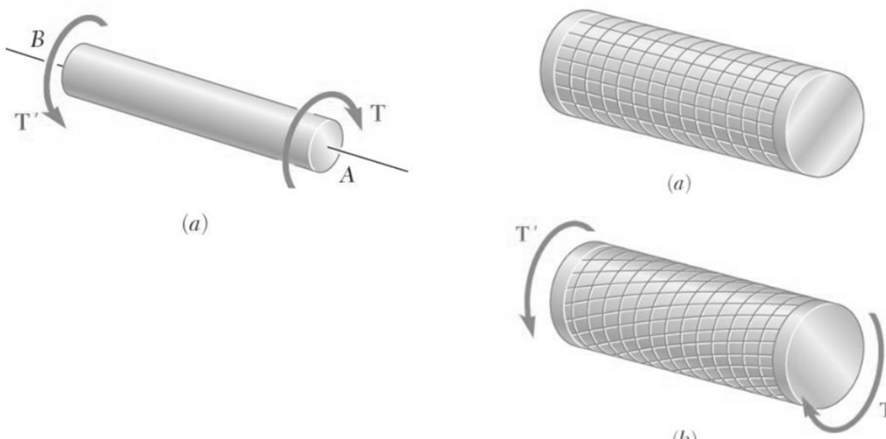
Prof. Dr. Diego Sarzosa Burgos-2017

Torção em Membros de Parede Fina



2017

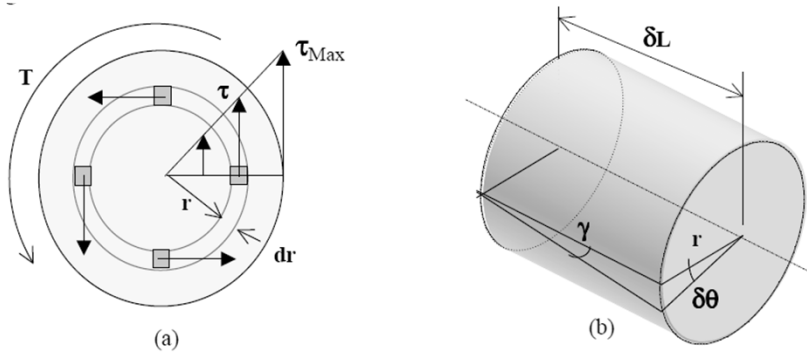
Torção



Prof. Dr. Diego Sarzosa Burgos-2017

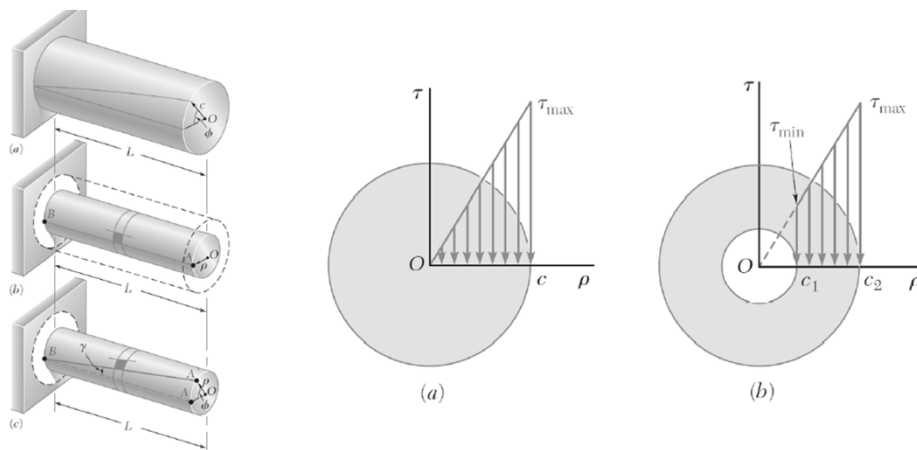
Torção

- Admite-se que as deformações angulares variam linearmente desde o centro do membro



Prof. Dr. Diego Sarzosa Burgos-2017

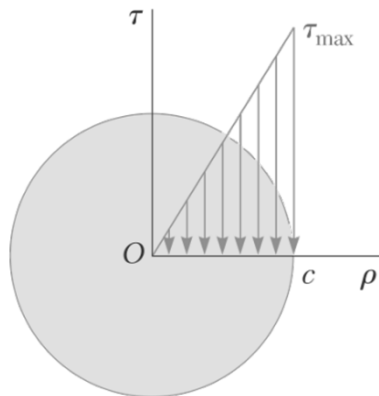
Torção



Prof. Dr. Diego Sarzosa Burgos-2017

Torção

A tensão de cisalhamento atuante na barra circular pode ser calculada como:



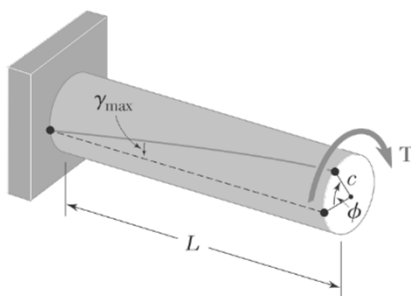
$$\tau = \frac{T\rho}{J}$$

τ = tensão de cisalhamento
 T = momento torsor;
 ρ = distância relativa ao centro da seção transversal da barra;
 J = momento polar de inércia

Prof. Dr. Diego Sarzosa Burgos- 2017

Torção

O ângulo de torção pode ser calculado como:

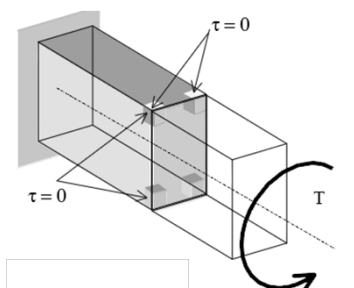


$$\phi = \frac{TL}{JG}$$

Φ = ângulo de torção
 L = comprimento da barra
 G = módulo de cisalhamento
 J = momento polar de inércia

Prof. Dr. Diego Sarzosa Burgos- 2017

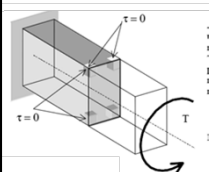
Torção em Membros de Seção Transversal Não Circular



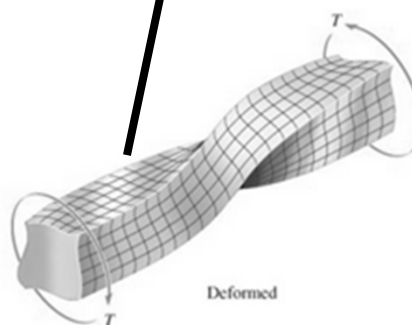
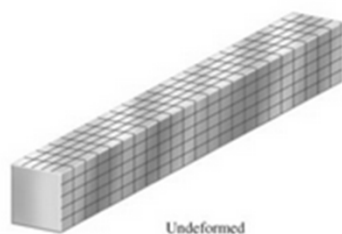
- Seções planas antes da deformação sofrem empenamento quando o membro sofre torção
- Distribuição complexa de tensões cisalhantes.
- Análise é muito mais complexa!

Prof. Dr. Diego Sarzosa Burgos-2017

Torção em Membros de Seção Transversal Não Circular



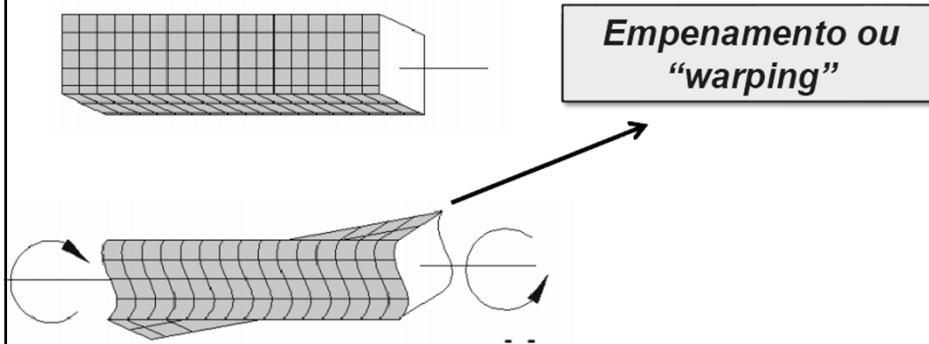
Empenamento ou
Warping



Prof. Dr. Diego Sarzosa Burgos-2017

Torção em Membros de Seção Transversal Não Circular

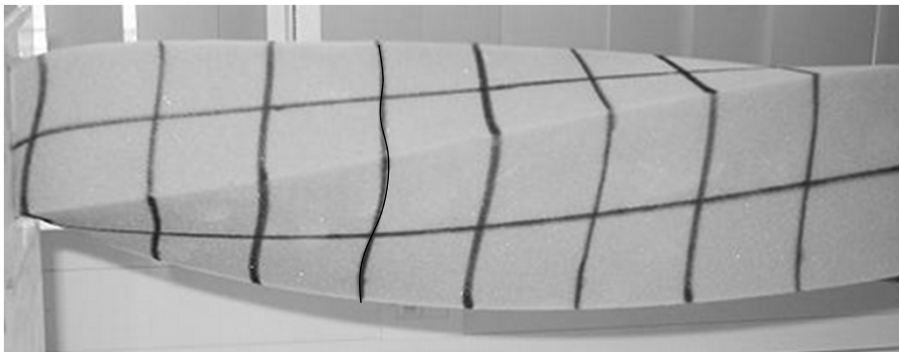
Seções Planas não permanecem planas



Prof. Dr. Diego Sarzosa Burgos-2017

Torção em Membros de Seção Transversal Não Circular

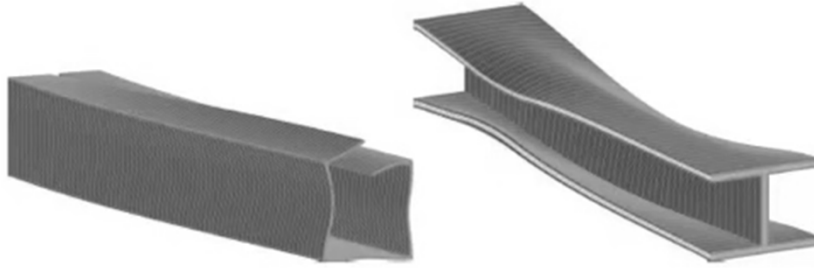
Seções Planas não permanecem planas



Prof. Dr. Diego Sarzosa Burgos-2017

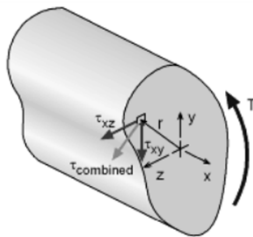
Torção em Membros de Seção Transversal Não Circular

Seções Planas não permanecem planas

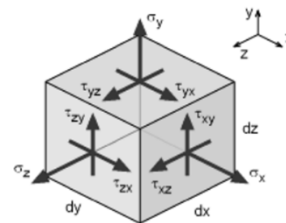


Prof. Dr. Diego Sarzosa Burgos-2017

Torção em Membros de Seção Transversal Não Circular



Shear Stress with Torque about the x-axis



General 3D Stress State

$$\frac{\partial \sigma_{xx}}{\partial x} + \frac{\partial \tau_{xy}}{\partial y} + \frac{\partial \tau_{xz}}{\partial z} + F_x = 0$$

$$\frac{\partial \sigma_{yy}}{\partial y} + \frac{\partial \tau_{xy}}{\partial x} + \frac{\partial \tau_{yz}}{\partial z} + F_y = 0$$

$$\frac{\partial \sigma_{zz}}{\partial z} + \frac{\partial \tau_{xz}}{\partial x} + \frac{\partial \tau_{yz}}{\partial y} + F_z = 0$$

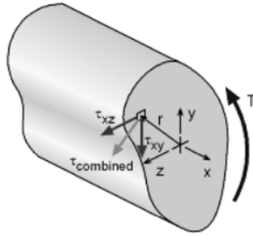
Para torção pura

$$\sigma_x = \sigma_y = \sigma_z = \tau_{yz} = 0$$

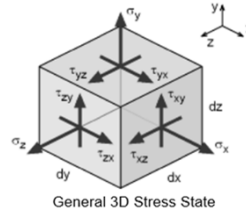
$$\frac{\partial \tau_{xy}}{\partial y} + \frac{\partial \tau_{xz}}{\partial z} = 0$$

Prof. Dr. Diego Sarzosa Burgos-2017

Torção em Membros de Seção Transversal Não Circular



Shear Stress with Torque about the x-axis



General 3D Stress State

A solução é obtida por meio de uma função escalar ϕ :

Para torção pura

$$\sigma_x = \sigma_y = \sigma_z = \tau_{yz} = 0$$

$$\frac{\partial \tau_{xy}}{\partial y} + \frac{\partial \tau_{xz}}{\partial z} = 0$$

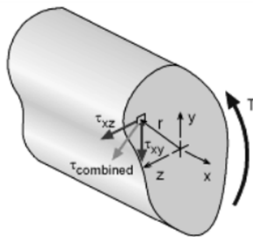


$$\tau_{xy} = -\frac{\partial \phi}{\partial z}$$

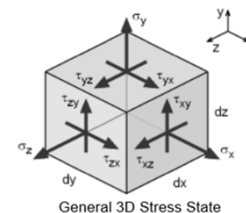
$$\tau_{xz} = \frac{\partial \phi}{\partial y}$$

Prof. Dr. Diego Sarzosa Burgos-2017

Torção em Membros de Seção Transversal Não Circular



Shear Stress with Torque about the x-axis



General 3D Stress State

A solução é obtida por meio de uma função escalar ϕ :

$$\frac{\partial \tau_{xy}}{\partial y} + \frac{\partial \tau_{xz}}{\partial z} = 0$$



$$\frac{\partial}{\partial y} \left(-\frac{\partial \phi}{\partial z} \right) + \frac{\partial}{\partial z} \left(\frac{\partial \phi}{\partial y} \right) = 0$$

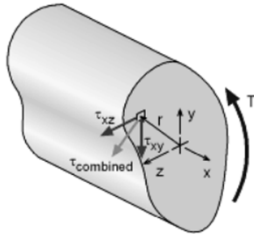
$$\tau_{xy} = -\frac{\partial \phi}{\partial z} \quad \tau_{xz} = \frac{\partial \phi}{\partial y}$$

$$-\frac{\partial^2 \phi}{\partial y \partial z} + \frac{\partial^2 \phi}{\partial z \partial y} = 0$$



Prof. Dr. Diego Sarzosa Burgos-2017

Torção em Membros de Seção Transversal Não Circular



Shear Stress with Torque about the x-axis

$$\frac{\partial \tau_{xy}}{\partial y} + \frac{\partial \tau_{xz}}{\partial z} = 0$$

$$\tau_{xy} = -\frac{\partial \phi}{\partial z}$$

$$\tau_{xz} = \frac{\partial \phi}{\partial y}$$

É necessário utilizar as relações de deformações-deslocamentos para resolver o problema.

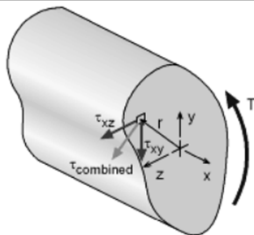
$$\sigma_x = \sigma_y = \sigma_z = \tau_{yz} = 0$$



$$\epsilon_x = \epsilon_y = \epsilon_z = \gamma_{yz} = 0$$

Prof. Dr. Diego Sarzosa Burgos-2017

Torção em Membros de Seção Transversal Não Circular



Shear Stress with Torque about the x-axis

$$\frac{\partial \tau_{xy}}{\partial y} + \frac{\partial \tau_{xz}}{\partial z} = 0$$

$$\tau_{xy} = -\frac{\partial \phi}{\partial z}$$

$$\tau_{xz} = \frac{\partial \phi}{\partial y}$$

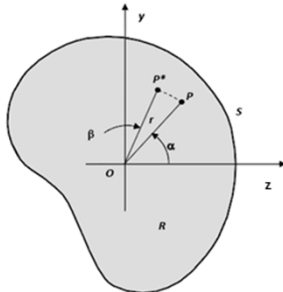
É necessário utilizar as relações de deformação-deslocamento para resolver o problema.

$$\gamma_{xy} = \frac{\partial u}{\partial y} + \frac{\partial v}{\partial x}$$

$$\gamma_{xz} = \frac{\partial u}{\partial z} + \frac{\partial w}{\partial x}$$

Prof. Dr. Diego Sarzosa Burgos-2017

Torção em Membros de Seção Transversal Não Circular



$$\beta = \theta x$$

β = ângulo de rotação
 θ = ângulo de rotação por unidade de comprimento
 x = distância ao longo do eixo x

Deslocamentos (v,w)
no plano da seção :

$$v = \theta xz$$

$$w = -\theta xy$$

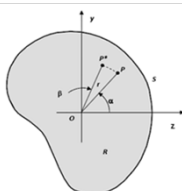
Deslocamento (u) fora
do plano da seção :

$$u = \theta \psi(y, z)$$

Função de empenamento

Prof. Dr. Diego Sarzosa Burgos-2017

Torção em Membros de Seção Transversal Não Circular



$$\beta = \theta x$$

β = ângulo de rotação
 θ = ângulo de rotação por unidade de comprimento
 x = distância ao longo do eixo x

Função de empenamento

$$\psi(y, z)$$

Deslocamentos (u,v,w)

$$w = -\theta xy$$

$$v = \theta xz$$

$$u = \theta \psi(y, z)$$

$$\gamma_{xy} = \frac{\partial u}{\partial y} + \frac{\partial v}{\partial x}$$

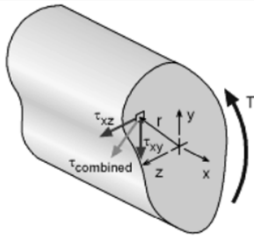
$$\gamma_{xz} = \frac{\partial u}{\partial z} + \frac{\partial w}{\partial x}$$

$$\gamma_{xy} = \theta \frac{\partial \psi}{\partial y} + \theta z$$

$$\gamma_{xz} = \theta \frac{\partial \psi}{\partial z} - \theta y$$

Prof. Dr. Diego Sarzosa Burgos-2017

Torção em Membros de Seção Transversal Não Circular



Shear Stress with Torque about the x-axis

Função de empenamento

$$\psi(y, z)$$

Função escalar

$$\phi(y, z)$$

Lei de Hooke:

$$\tau_{xy} = G\gamma_{xy}$$

$$\tau_{xz} = G\gamma_{xz}$$

$$\gamma_{xy} = \theta \frac{\partial \psi}{\partial y} + \theta z$$

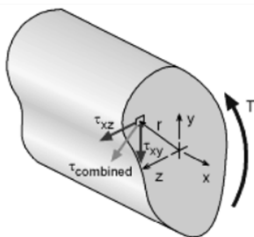
$$\gamma_{xz} = \theta \frac{\partial \psi}{\partial z} - \theta y$$

$$\tau_{xy} = -\frac{\partial \phi}{\partial y}$$

$$\tau_{xz} = \frac{\partial \phi}{\partial z}$$

Prof. Dr. Diego Sarzosa Burgos-2017

Torção em Membros de Seção Transversal Não Circular



Shear Stress with Torque about the x-axis

Função de empenamento

$$\psi(y, z)$$

Função escalar

$$\phi(y, z)$$

Substituindo a função escalar e a função de empenamento na Lei de Hooke:

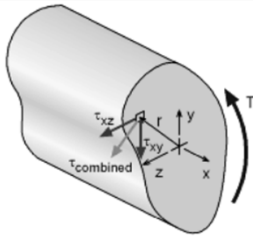
$$(1) \quad \frac{\partial \phi}{\partial y} = G \left(\theta \frac{\partial \psi}{\partial z} - \theta y \right) \equiv \tau_{xz}$$

$$(2) \quad -\frac{\partial \phi}{\partial z} = G \left(\theta \frac{\partial \psi}{\partial y} + \theta z \right) \equiv \tau_{xy}$$

Temos duas funções incógnitas, ϕ e ψ , e duas equações.

Prof. Dr. Diego Sarzosa Burgos-2017

Torção em Membros de Seção Transversal Não Circular



Shear Stress with Torque about the x-axis

Função de empenamento

$$\psi(y, z)$$

Função escalar

$$\phi(y, z)$$

Para eliminar a função de empenamento da equação final do problema derivamos a eq. (1) em relação a “y” e a eq. (2) em relação a “z” e subtraímos:

$$\frac{\partial^2 \phi}{\partial y^2} = G\theta \frac{\partial^2 \psi}{\partial y \partial z} - G\theta \frac{\partial y}{\partial y}$$

$$-\frac{\partial^2 \phi}{\partial z^2} = G\theta \frac{\partial^2 \psi}{\partial z \partial y} + G\theta \frac{\partial z}{\partial z}$$

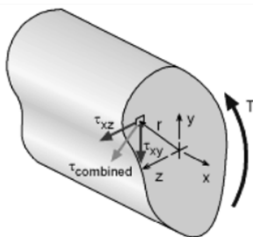


$$\frac{\partial^2 \phi}{\partial y^2} + \frac{\partial^2 \phi}{\partial z^2} = -2G\theta$$

Eq. de Poisson

Prof. Dr. Diego Sarzosa Burgos-2017

Torção em Membros de Seção Transversal Não Circular



Shear Stress with Torque about the x-axis

Função de empenamento

$$\psi(y, z)$$

Função escalar

$$\phi(y, z)$$

Para eliminar a função de empenamento da equação final do problema derivamos a eq. (1) em relação a “y” e a eq. (2) em relação a “z” e subtraímos:

$$\frac{\partial^2 \phi}{\partial y^2} = G\theta \frac{\partial^2 \psi}{\partial y \partial z} - G\theta \frac{\partial y}{\partial y}$$

$$-\frac{\partial^2 \phi}{\partial z^2} = G\theta \frac{\partial^2 \psi}{\partial z \partial y} + G\theta \frac{\partial z}{\partial z}$$



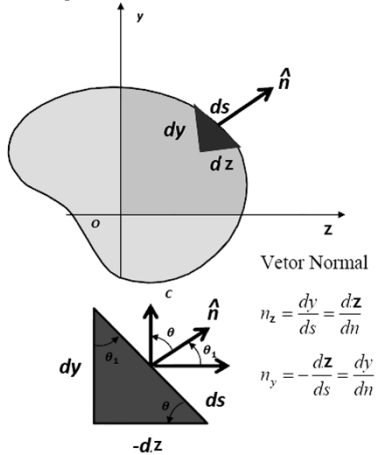
$$\frac{\partial^2 \phi}{\partial y^2} + \frac{\partial^2 \phi}{\partial z^2} = -2G\theta$$

Eq. de Poisson

Prof. Dr. Diego Sarzosa Burgos-2017

Torção em Membros de Seção Transversal Não Circular

Condição de contorno:



Para resolver o problema as condições de contorno devem ser conhecidas.

$$\begin{matrix} \tau_{xz} & \tau_{xy} & n_z & n_y \end{matrix}$$

$$t^{(\hat{n})} = \begin{bmatrix} \sigma_x & \tau_{xy} & \tau_{xz} \\ \tau_{yx} & \sigma_y & \tau_{yz} \\ \tau_{zx} & \tau_{zy} & \sigma_z \end{bmatrix} \begin{bmatrix} n_x \\ n_y \\ n_z \end{bmatrix}$$

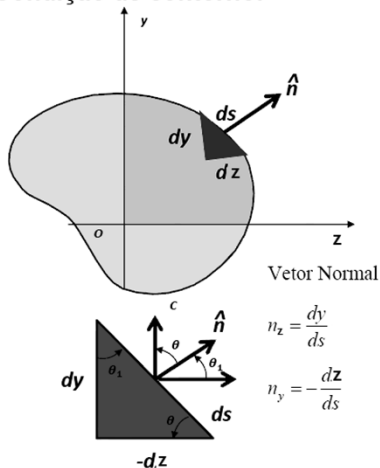
$$t^{(\hat{n})} = \begin{bmatrix} 0 \\ 0 \\ 0 \end{bmatrix}$$

No contorno não existe nenhum esforço aplicado

Prof. Dr. Diego Sarzosa Burgos-2017

Torção em Membros de Seção Transversal Não Circular

Condição de contorno:



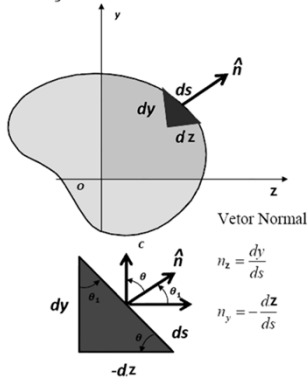
Para resolver o problema as condições de contorno devem ser conhecidas.

$$\begin{bmatrix} 0 \\ 0 \\ 0 \end{bmatrix} = \begin{bmatrix} 0 & -\frac{\partial \phi}{\partial z} & \frac{\partial \phi}{\partial y} \\ \frac{\partial \phi}{\partial y} & 0 & 0 \\ \frac{\partial \phi}{\partial y} & 0 & 0 \end{bmatrix} \begin{bmatrix} 0 \\ -\frac{dz}{ds} \\ \frac{dy}{ds} \end{bmatrix}$$

Prof. Dr. Diego Sarzosa Burgos-2017

Torção em Membros de Seção Transversal Não Circular

Condição de contorno:



Para resolver o problema as condições de contorno devem ser conhecidas.

$$\begin{bmatrix} 0 \\ 0 \\ 0 \end{bmatrix} = \begin{bmatrix} \frac{\partial \phi}{\partial z} \frac{dz}{ds} + \frac{\partial \phi}{\partial y} \frac{dy}{ds} \\ 0 \\ 0 \end{bmatrix} \rightarrow \frac{\partial \phi}{\partial s} = 0, \quad s = f(z, y)$$

$$\downarrow$$

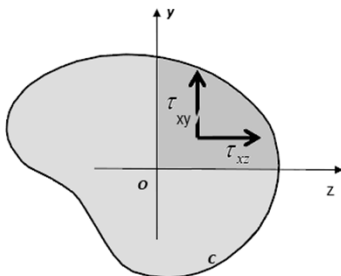
$$\phi = k$$

- A função escalar de tensão (ϕ) deve ser constante ao longo do contorno.
- A equação de equilíbrio deve ser satisfeita pela função tensão ϕ

Prof. Dr. Diego Sarzosa Burgos-2017

Torção em Membros de Seção Transversal Não Circular

Momento torsor



$$\sum M_x = T = \int_A (z\tau_{xy} - y\tau_{xz}) dydz$$

$$\tau_{xy} = -\frac{\partial \phi}{\partial z}$$

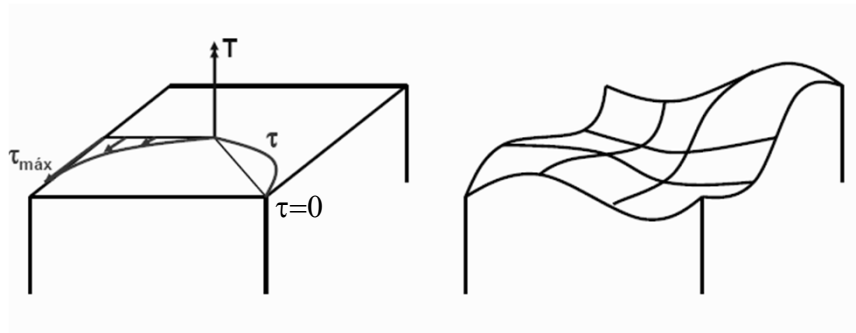
$$\tau_{xz} = \frac{\partial \phi}{\partial y}$$

$$\sum T = \int_A \left(-z \frac{\partial \phi}{\partial z} - y \frac{\partial \phi}{\partial y} \right) dydz$$

Prof. Dr. Diego Sarzosa Burgos-2017

Torção em Membros de Seção Transversal Não Circular

Distribuição das tensões de cisalhamento para seção quadrada



$$\frac{\partial^2 \phi}{\partial y^2} + \frac{\partial^2 \phi}{\partial z^2} = -2G\theta$$

$$\tau_{xy} = -\frac{\partial \phi}{\partial z}$$

$$\tau_{xz} = \frac{\partial \phi}{\partial y}$$

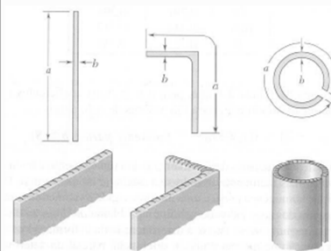
Prof. Dr. Diego Sarzosa Burgos-2017

Torção em Membros de Seção Transversal Não Circular

Coefficientes C_1 e C_2 :

a/b	C_1	C_2
1	0,208	0,1406
1,2	0,219	0,1661
1,5	0,231	0,1958
2	0,246	0,229
2,5	0,258	0,249
3	0,267	0,263
4	0,282	0,281
5	0,291	0,291
10	0,312	0,312
∞	0,333	0,333

Barras de paredes finas e espessura constante. Seção Aberta. Independente da forma.



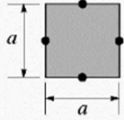
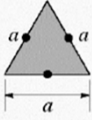
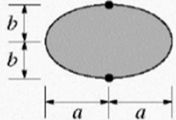
$$\tau_{máx} = \frac{T}{C_1 \cdot a \cdot b^2}$$

$$\phi = \frac{T \cdot L}{C_2 \cdot a \cdot b^3 \cdot G}$$

onde: a → lado maior
b → lado menor

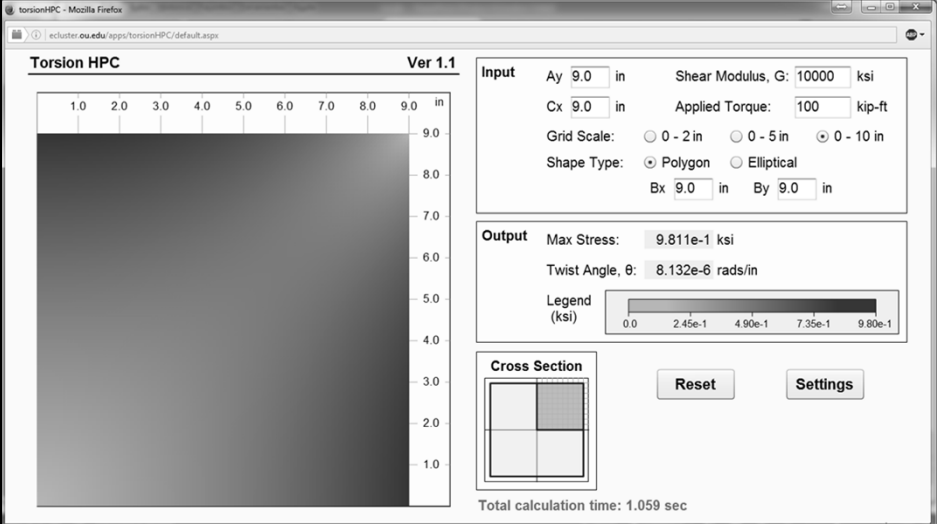
Prof. Dr. Diego Sarzosa Burgos-2017

Torção em Membros de Seção Transversal Não Circular

Forma da seção transversal	$\tau_{\text{máx}}$	ϕ
<p>Quadrada</p> 	$\frac{4.81 T}{a^3}$	$\frac{7.10 TL}{a^4 G}$
<p>Triangular</p> 	$\frac{20 T}{a^3}$	$\frac{46 TL}{a^4 G}$
<p>Elíptica</p> 	$\frac{2 T}{\pi a b^2}$	$\frac{(a^2 + b^2) TL}{\pi a^3 b^3 G}$

Prof. Dr. Diego Sarzosa Burgos-2017

Exemplos



Torsion HPC Ver 1.1

Input

Ay 9.0 in Shear Modulus, G: 10000 ksi

Cx 9.0 in Applied Torque: 100 kip-ft

Grid Scale: 0 - 2 in 0 - 5 in 0 - 10 in

Shape Type: Polygon Elliptical

Bx 9.0 in By 9.0 in

Output

Max Stress: 9.811e-1 ksi

Twist Angle, θ : 8.132e-6 rads/in

Legend (ksi)

0.0 2.45e-1 4.90e-1 7.35e-1 9.80e-1

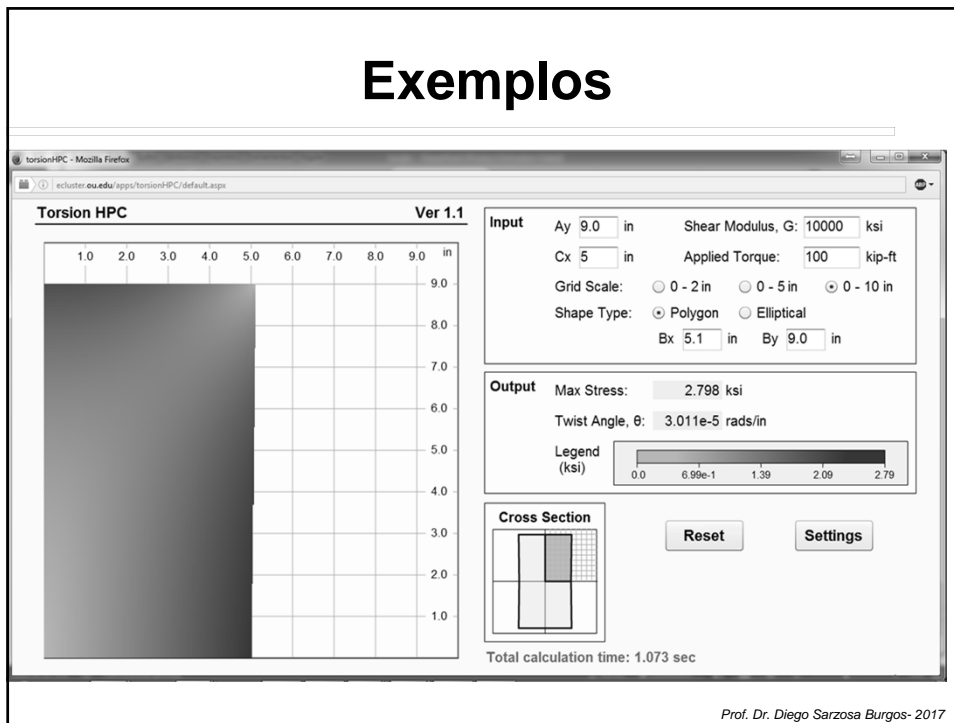
Cross Section

Reset Settings

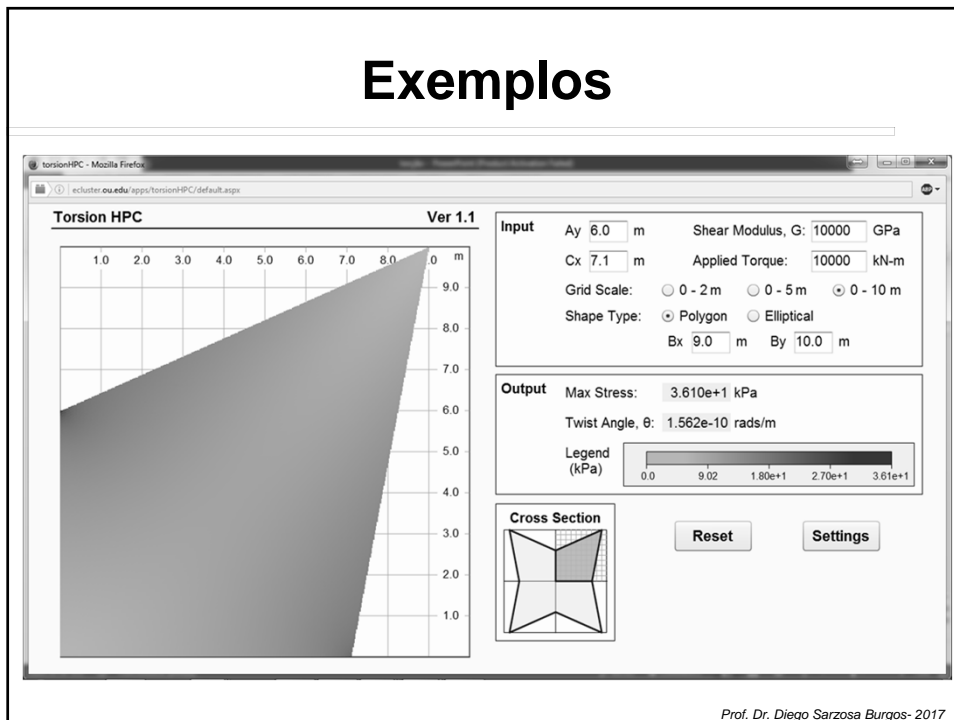
Total calculation time: 1.059 sec

Prof. Dr. Diego Sarzosa Burgos-2017

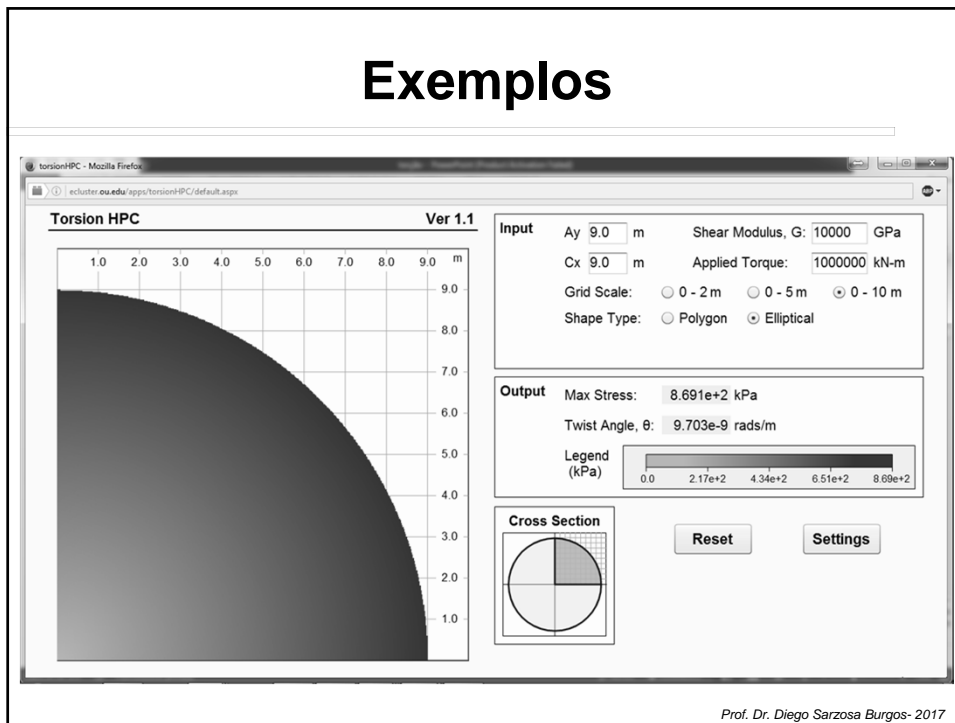
Exemplos



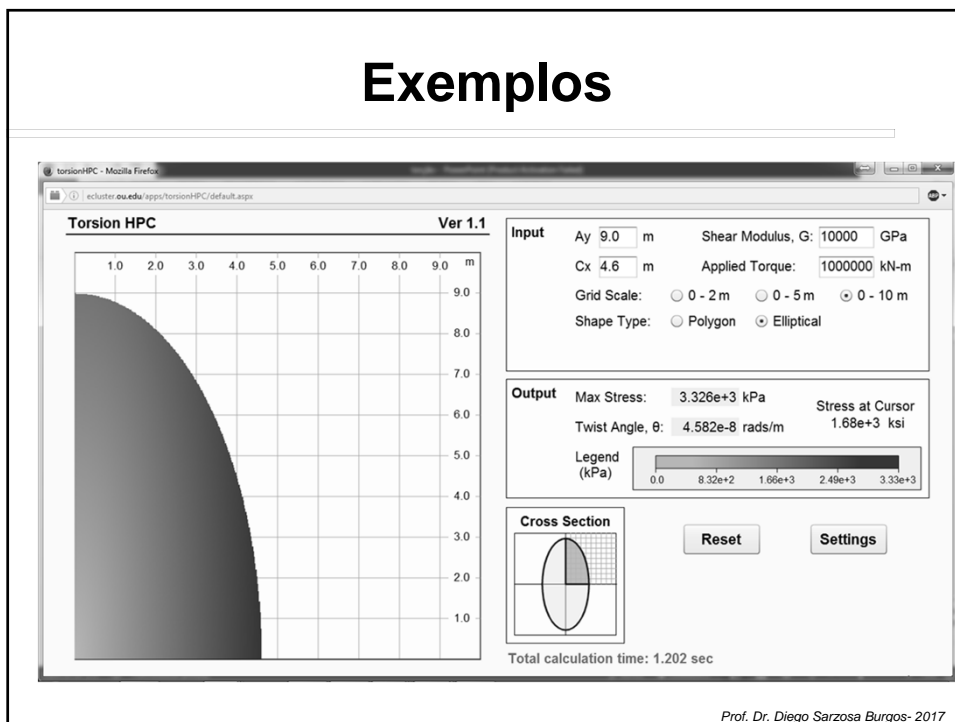
Exemplos



Exemplos

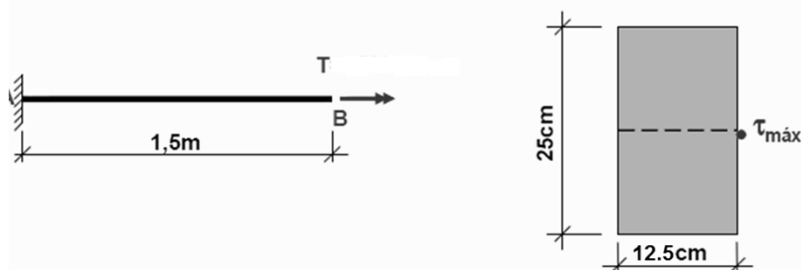


Exemplos



Exemplos

- Calcular a tensão máxima na barra de seção 125x250 mm, submetida a um momento de torção de 10^5 N-m. Qual será o ângulo de torção sabendo que o comprimento da barra é 1.5 m. $E = 206$ GPa, $\nu = 0.3$;



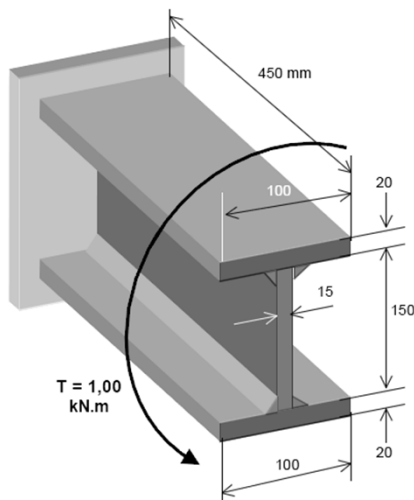
Prof. Dr. Diego Sarzosa Burgos-2017

Exemplo

Exemplo 4.6.3. - O perfil "I" esquematizado é montado através da união de duas barras chatas de aço, de 100×20 mm² ("mesas") soldadas a outra barra chata, também de aço, de 150×15 mm² ("alma"), sendo submetido a um torque $T = 1,00$ kN.m em sua extensão de 450 mm. Pede-se determinar:

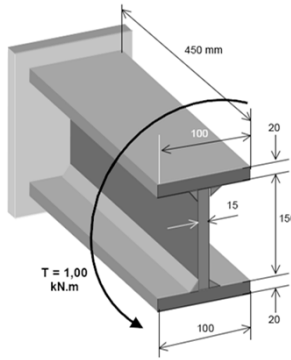
- a) a máxima tensão tangencial no perfil, e
- b) o ângulo de torção do perfil.

Solução:



Prof. Dr. Diego Sarzosa Burgos-2017

Exemplo



• Key points:

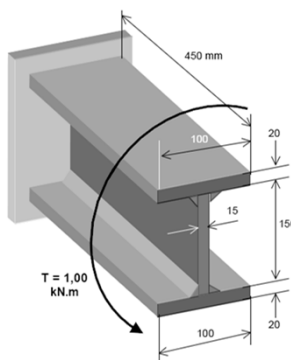
- O momento T é suportado pelas almas e flange da viga.
- A ângulo de torção ϕ das almas é o mesmo do flange (compatibilidade das deformações).

$$T = 2T_{flange} + T_{alma}$$

$$\phi_{flange} = \phi_{alma}$$

Prof. Dr. Diego Sarzosa Burgos-2017

Exemplo



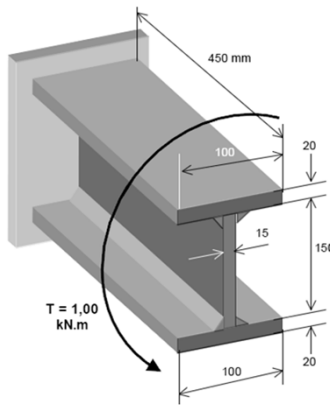
$$T = 2T_{flange} + T_{alma}$$

$$\phi_{flange} = \phi_{alma} \rightarrow \frac{T_{flange} L}{J_{flange} G} = \frac{T_{alma} L}{J_{alma} G}$$

$$\frac{T_{flange}}{(C_2 ab^3)_{flange}} = \frac{T_{alma}}{(C_2 ab^3)_{alma}}$$

Prof. Dr. Diego Sarzosa Burgos-2017

Exemplo



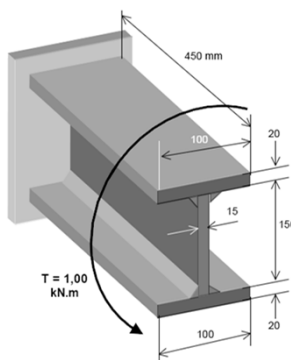
$$\left(\frac{a}{b}\right)_{flange} = \frac{100}{20} = 5 \quad C_2 = 0.291$$

Coeficientes C_1 e C_2 :

a/b	C_1	C_2
1	0,208	0,1406
1,2	0,219	0,1661
1,5	0,231	0,1958
2	0,246	0,229
2,5	0,258	0,249
3	0,267	0,263
4	0,282	0,281
5	0,291	0,291
10	0,312	0,312
∞	0,333	0,333

$$\left(\frac{a}{b}\right)_{alma} = \frac{150}{15} = 10 \quad C_2 = 0.312$$

Exemplo



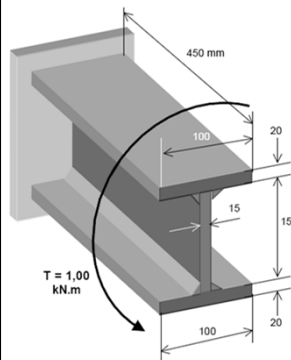
$$\frac{T_{flange}}{(C_2 ab^3)_{flange}} = \frac{T_{alma}}{(C_2 ab^3)_{alma}}$$

$$C_2 = 0.291$$

$$C_2 = 0.312$$

$$\frac{T_{flange}}{(0.291 ab^3)_{flange}} = \frac{T_{alma}}{(0.312 ab^3)_{alma}}$$

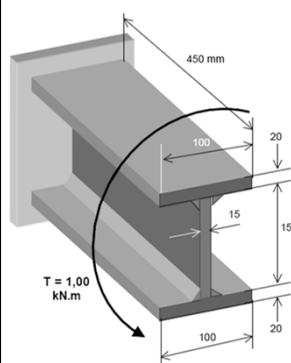
Exemplo



$$\frac{T_{flange}}{(0.291ab^3)_{flange}} = \frac{T_{alma}}{(0.312ab^3)_{alma}}$$

$$\frac{T_{flange}}{(0.291 \times 100 \times 20^3)_{flange}} = \frac{T_{alma}}{(0.312 \times 150 \times 15^3)_{alma}}$$

Exemplo



$$\frac{T_{flange}}{(0.291ab^3)_{flange}} = \frac{T_{alma}}{(0.312ab^3)_{alma}}$$

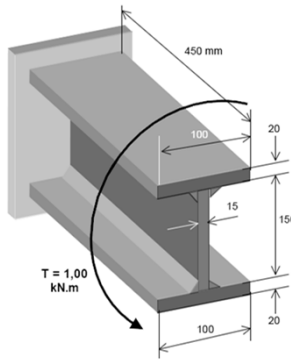
$$0.679T_{flange} = T_{alma}$$

$$T = 2T_{flange} + T_{alma}$$

$$T = 2T_{flange} + 0.679T_{flange}$$

Prof. Dr. Diego Sarzosa Burgos-2017

Exemplo



$$T = 2T_{flange} + 0.679T_{flange}$$

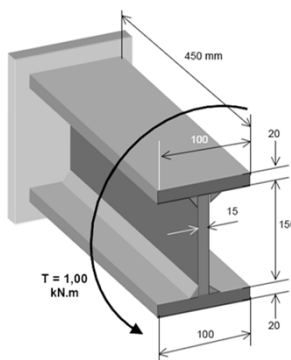
$$T_{flange} = \frac{T}{2.679}$$

$$0.679 \frac{T}{2.679} = T_{alma}$$

$$\frac{T}{3.945} = T_{alma}$$

Prof. Dr. Diego Sarzosa Burgos-2017

Exemplo



$$\frac{T}{3.945} = T_{alma}$$

$$\tau_{alma} = \frac{T_{alma}}{C_1 ab^2}$$

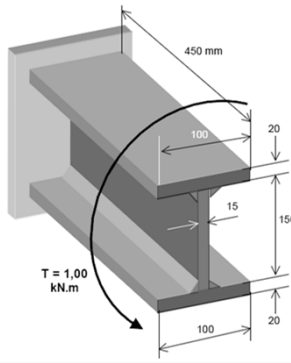
$$\left(\frac{a}{b}\right)_{alma} = \frac{150}{15} = 10$$

$$C_1 = 0.312$$

Coefficientes C_1 e C_2 :

a/b	C_1	C_2
1	0,208	0,1406
1,2	0,219	0,1661
1,5	0,231	0,1958
2	0,246	0,229
2,5	0,258	0,249
3	0,267	0,263
4	0,282	0,281
5	0,291	0,291
10	0,312	0,312
∞	0,333	0,333

Exemplo



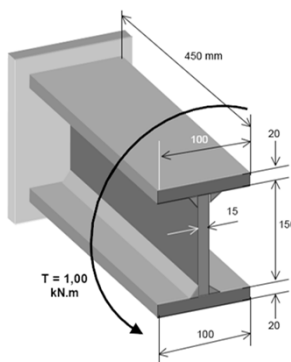
$$\frac{T}{3.945} = T_{alma} \longrightarrow \tau_{alma} = \frac{T_{alma}}{C_1 ab^2}$$

$$\tau_{alma} = \frac{10^6}{0.312 \times 150 \times 15^2}$$

$$\tau_{alma} = 24 \text{ MPa}$$

Prof. Dr. Diego Sarzosa Burgos-2017

Exemplo



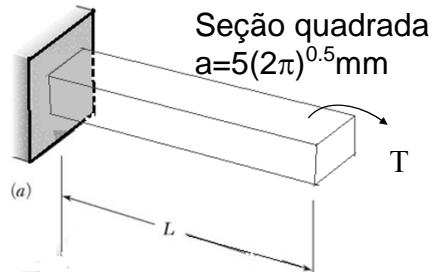
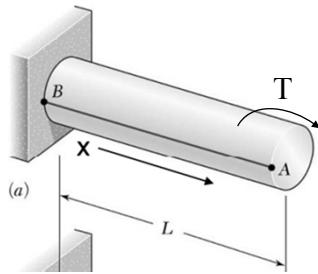
$$T_{flange} = \frac{T}{2.679} \longrightarrow \tau_{flange} = \frac{T_{flange}}{C_1 ab^2}$$

$$\tau_{flange} = \frac{10^6}{0.291 \times 100 \times 20^2}$$

$$\tau_{flange} = 32 \text{ MPa}$$

Prof. Dr. Diego Sarzosa Burgos-2017

Exemplo



$$\tau_{\max} = \frac{Tr}{J}$$

$$\tau_{\max} = \frac{16T}{\pi d^3}$$

$$T = 10 \text{ N} \cdot \text{m}$$

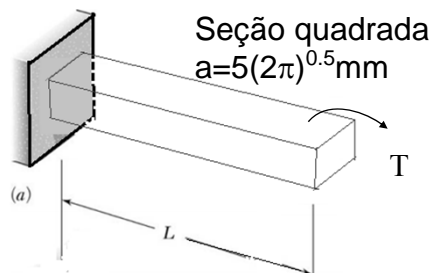
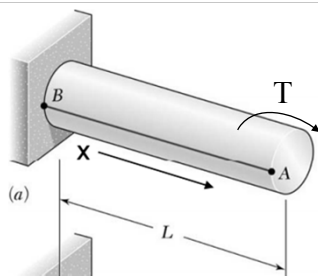
$$d = 10 \text{ mm}$$

$$\tau_{\max} = \frac{T}{C_1 ab^2}$$

$$C_1 = 0,0434 \ln(a/b) + 0,2153$$

Prof. Dr. Diego Sarzosa Burgos-2017

Exemplo



$$\tau_{\max} = \frac{Tr}{J}$$

$$\tau_{\max} = \frac{16T}{\pi d^3}$$

$$T = 10 \text{ N} \cdot \text{m}$$

$$d = 10$$

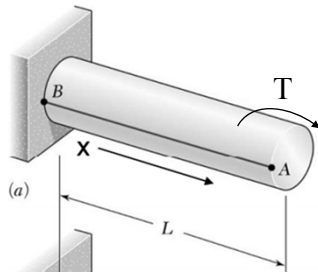
$$a = 5\sqrt{2\pi}$$

$$\tau_{\max} = \frac{T}{C_1 ab^2}$$

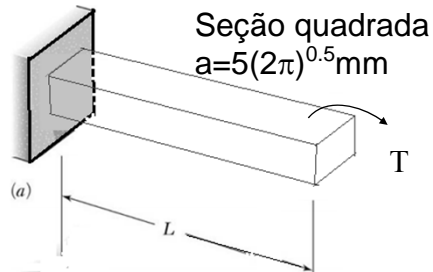
$$C_1 = 0,208$$

Prof. Dr. Diego Sarzosa Burgos-2017

Exemplo



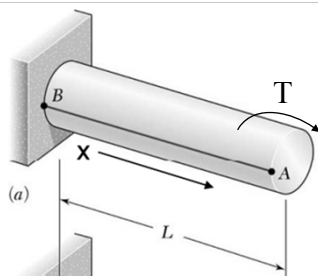
$$\tau_{\max} = \frac{16 \times 10^4}{\pi 10^3}$$



$$\tau_{\max} = \frac{10^4}{0,208 \times 5\sqrt{2\pi} \times (5\sqrt{2\pi})^2}$$

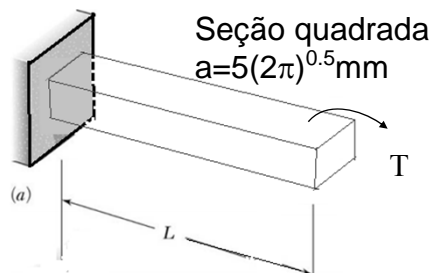
Prof. Dr. Diego Sarzosa Burgos-2017

Exemplo



$$\tau_{\max} = \frac{16 \times 10^4}{\pi 10^3}$$

$$\tau_{\max} = \frac{160}{\pi} [MPa]$$



$$\tau_{\max} = \frac{10^4}{0,208 \times 5\sqrt{2\pi} \times (5\sqrt{2\pi})^2}$$

$$\tau_{\max} = \frac{76,7}{\pi} [MPa]$$

Prof. Dr. Diego Sarzosa Burgos-2017